

Falsifying the Universe with Martin since 2014

Frank Deppisch

`f.deppisch@ucl.ac.uk`

University College London

Hirschfest 2024 | IFIC Valencia | 23–24/01/2024

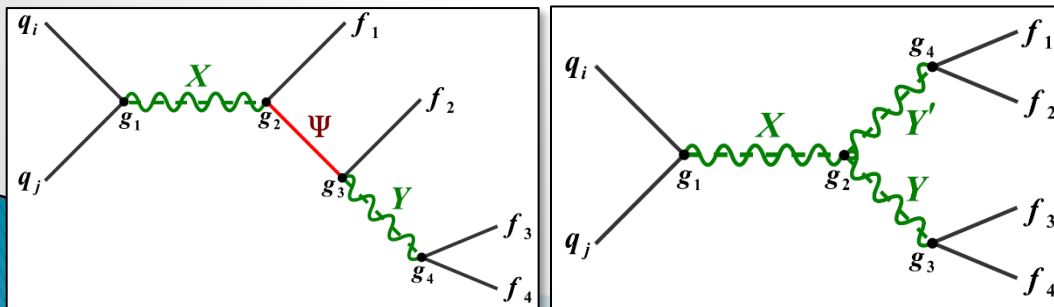
Baryon Asymmetry Generation and Washout

▶ Classic Example: High-Scale Leptogenesis

- Generation via heavy neutrino decays
- Competition with LNV washout processes
- Conversion to baryon asymmetry
 - EW sphaleron processes at $T \approx 100$ GeV
 - Observed asymmetry

$$\eta_B \equiv \frac{n_B - n_{\bar{B}}}{n_\gamma} = (6.20 \pm 0.15) \times 10^{-10}$$

▶ What if we observe lepton number violating processes at the LHC or in $0\nu\beta\beta$?



Induced Washout

- ▶ Compare LHC cross section with lepton number asymmetry washout

$$\frac{\Gamma_W}{H} > 3 \times 10^{-3} \frac{M_P M_X^3}{T^4} \frac{K_1(M_X/T)}{f_{q_1 q_2}(M_X/\sqrt{s})} \times (s \sigma_{\text{LHC}})$$

- Lower limit on total washout rate
 - Neglecting other washout processes

$$\log_{10} \frac{\Gamma_W}{H} > 7 + 0.6 \left(\frac{M_X}{\text{TeV}} - 1 \right) + \log_{10} \frac{\sigma_{\text{LHC}}}{\text{fb}}$$

- Observation of LNV @ LHC corresponds to highly effective washout $\Gamma_W/H \gg 1$
 - Excludes Leptogenesis models that generate asymmetry above M_X



Caveats

- ▶ Cannot exclude scenarios that generate a lepton number asymmetry below observed scale M_X
 - But strong limits still apply
- ▶ Asymmetry can be present in one lepton generation only
 - Unambiguous falsification requires observation of LNV in all flavours (or observation of low energy LFV such as $\tau \rightarrow e\gamma$)
- ▶ Sphalerons only affect LH leptons...What if LNV is observed for RH leptons only?
 - Not an issue as all LH and RH charged fermions are in thermal equilibrium $\approx M_{EW}$
- ▶ Symmetry in new sector coupled via hypercharge induces $(B - L)$ chemical potential (Antaramian, Hall, Rašin '93)



Caveats

- ▶ Cannot exclude scenarios that generate a lepton number asymmetry below observed scale M_X
 - But strong limits still apply




Falsifying High-Scale Leptogenesis at the LHC

#6

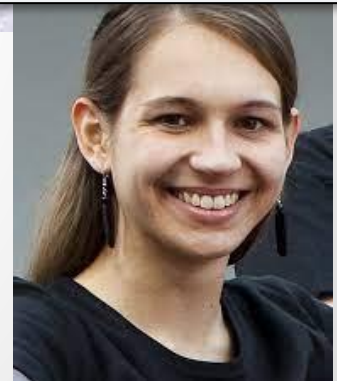
Frank F. Deppisch (University Coll. London), Julia Harz (University Coll. London), Martin Hirsch (Valencia U., IFIC) (Dec 16, 2013)

Published in: *Phys.Rev.Lett.* 112 (2014) 221601 • e-Print: [1312.4447](https://arxiv.org/abs/1312.4447) [hep-ph]

 pdf  DOI  cite  claim

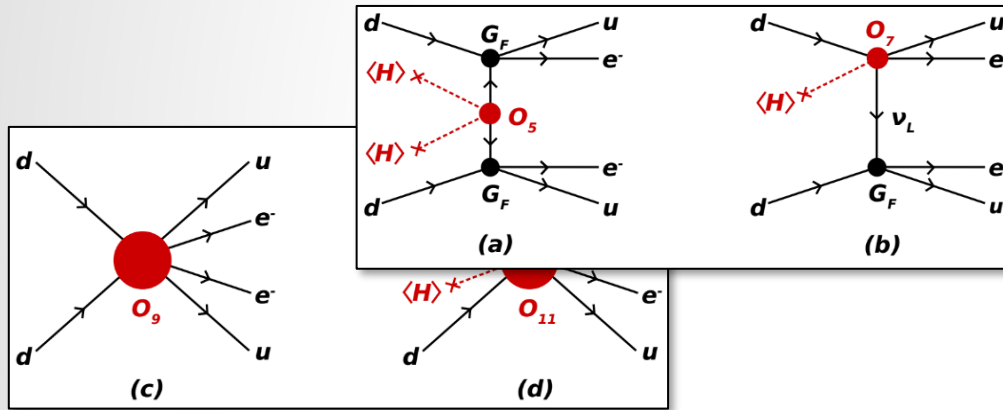
 reference search  99 citations

- ▶ Sphalerons only affect LH leptons...What if LNV is observed for RH leptons only?
 - Not an issue as all LH and RH charged fermions are in thermal equilibrium $\approx M_{EW}$
- ▶ Symmetry in new sector coupled via hypercharge induces $(B - L)$ chemical potential (Antaramian, Hall, Rašin '93)



Washout via $0\nu\beta\beta$ operators

- ▶ Analogous analysis using LNV effective operators of mass dimensions 5, 7, 9, 11
 - 129 Operators



- Matching to $0\nu\beta\beta$ operators

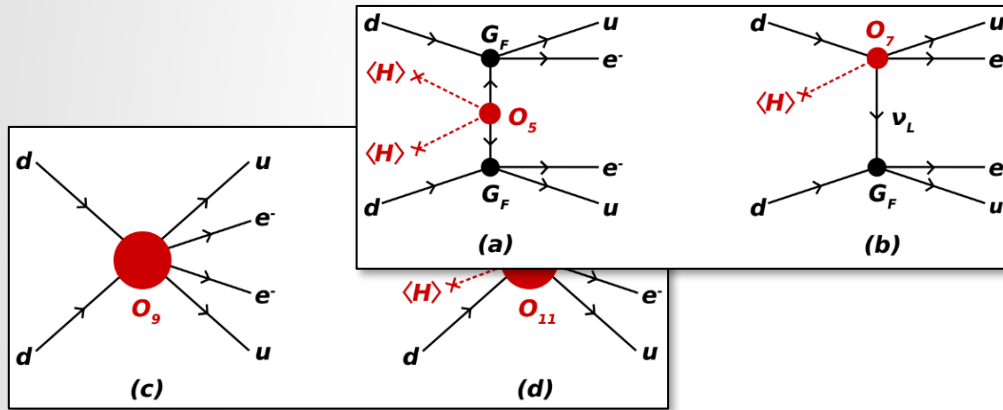
$$m_{e\epsilon_5} = \frac{g^2 v^2}{\Lambda_5}, \quad \frac{G_F \epsilon_7}{\sqrt{2}} = \frac{g^3 v}{2\Lambda_7^3}, \quad \frac{G_F^2 \epsilon_{\{9,11\}}}{2m_p} = \left\{ \frac{g^4}{\Lambda_9^5}, \frac{g^6 v^2}{\Lambda_{11}^7} \right\}.$$

$$T_{1/2} = 2.1 \times 10^{25} \text{ y} \cdot (\Lambda_D / \Lambda_D^0)^{2d-8}$$



Washout via $0\nu\beta\beta$ operators

- ▶ Analogous analysis using LNV effective operators of mass dimensions 5, 7, 9, 11
 - 129 Operators



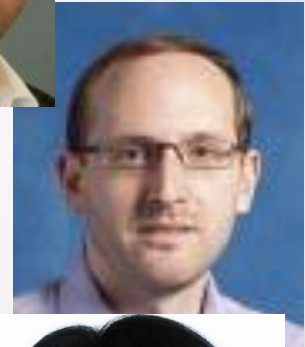
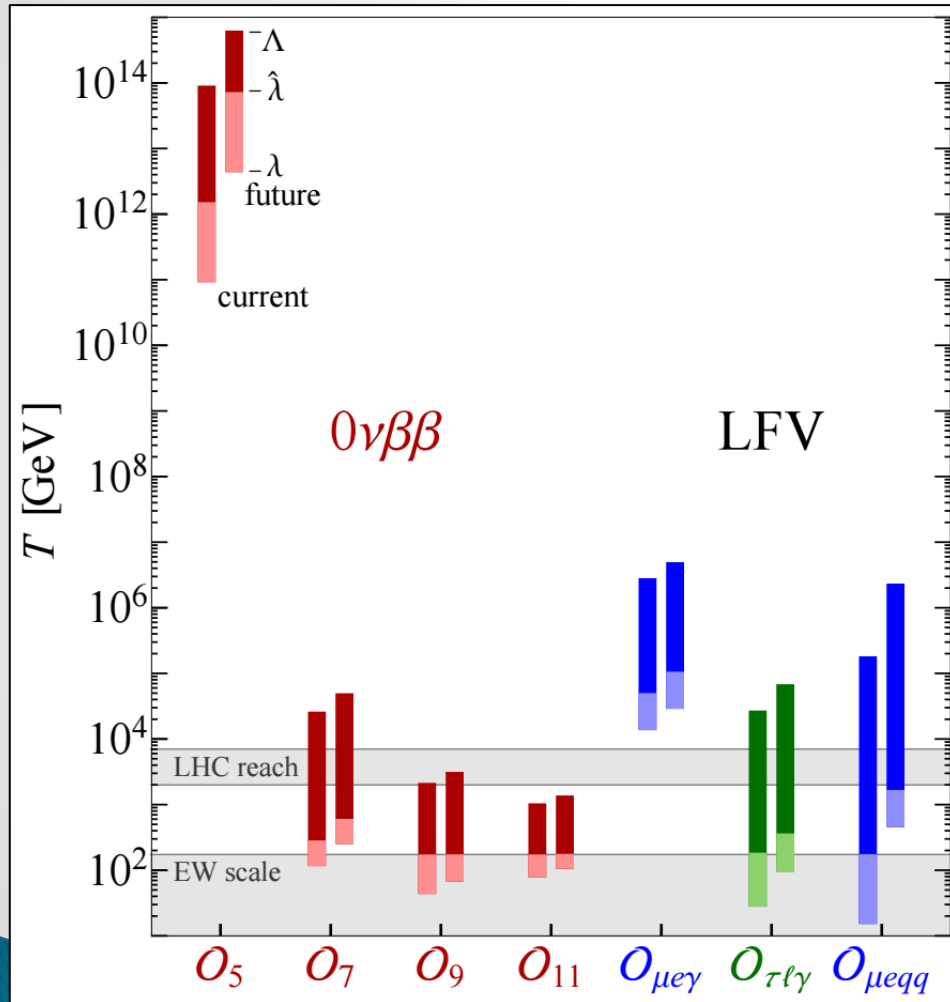
- Matching to $0\nu\beta\beta$ operators

$$m_{e\epsilon_5} = \frac{g^2 v^2}{\Lambda_5}, \quad \frac{G_F \epsilon_7}{\sqrt{2}} = \frac{g^3 v}{2\Lambda_7^3}, \quad \frac{G_F^2 \epsilon_{\{9,11\}}}{2m_p} = \left\{ \frac{g^4}{\Lambda_9^5}, \frac{g^6 v^2}{\Lambda_{11}^7} \right\}.$$

$$T_{1/2} = 2.1 \times 10^{25} \text{ y} \cdot (\Lambda_D / \Lambda_D^0)^{2d-8}$$

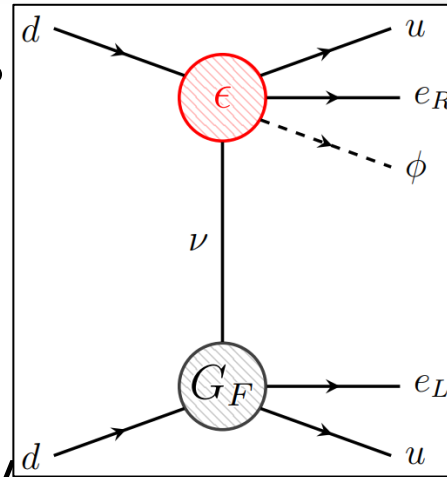


Observation of $0\nu\beta\beta$ / LFV



Majorons and RH Currents

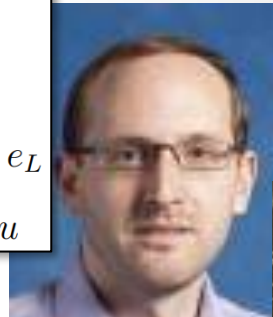
- Effective RH lepton currents with massless scalar ϕ



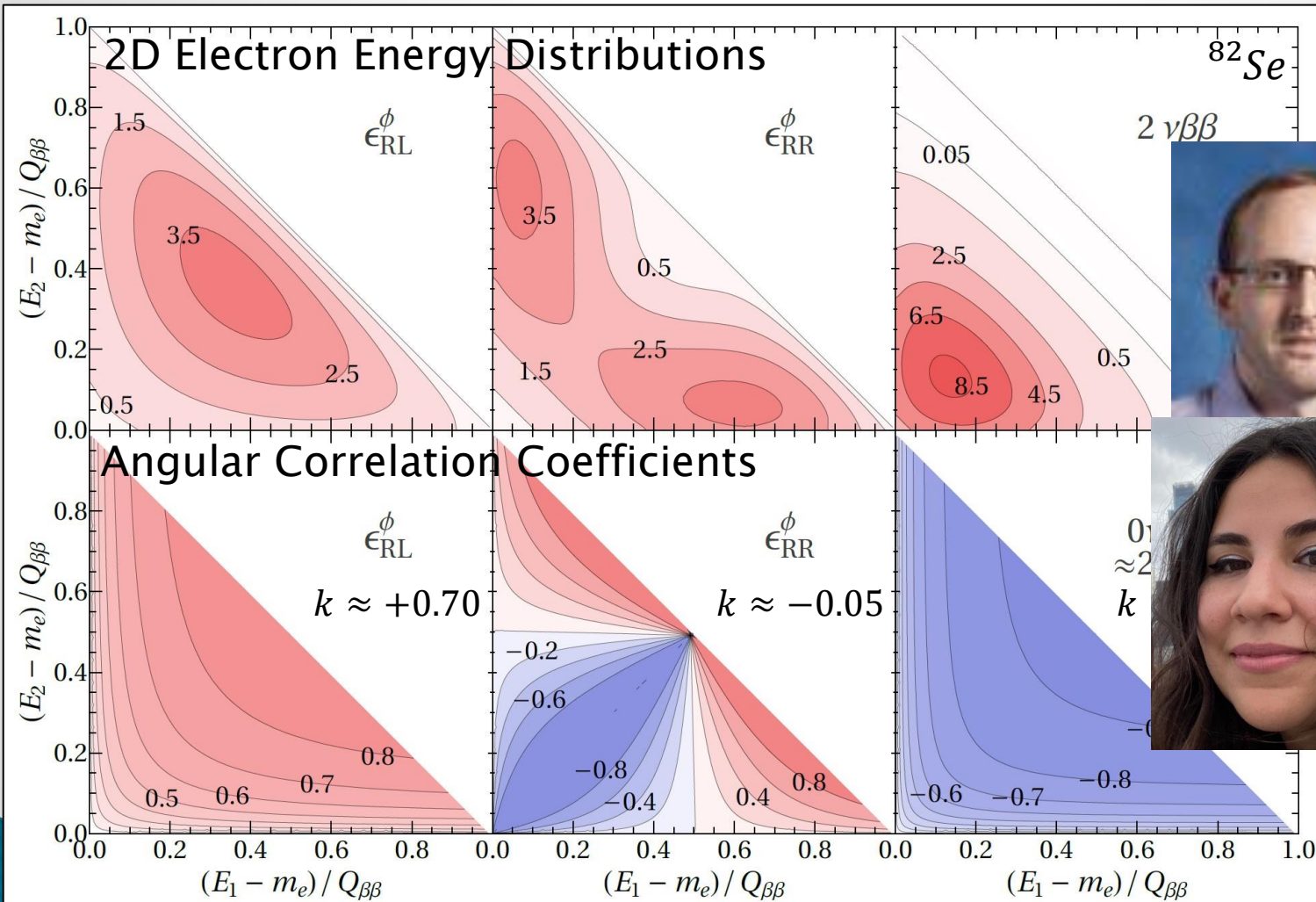
- Giving rise to long-range contribution to $0\nu\beta\beta\phi$ decay

$$\mathcal{M} = \epsilon_{RX}^{\phi} \frac{(G_F \cos \theta_C)^2}{\sqrt{2} m_p} \sum_N \int d^3x d^3y \int \frac{d^3q}{2\pi^2 \omega} \phi(\mathbf{y}) e^{i\mathbf{q}(\mathbf{x}-\mathbf{y})} \times \left\{ \left[\frac{J_{LX}^{\rho\sigma}(\mathbf{x}, \mathbf{y}) u_{\rho\sigma}^L(E_1 \mathbf{x}, E_2 \mathbf{y})}{\omega + \mu_N - \frac{1}{2}(E_1 - E_2 - E_{\phi})} - \frac{J_{XL}^{\rho\sigma}(\mathbf{x}, \mathbf{y}) u_{\rho\sigma}^R(E_1 \mathbf{x}, E_2 \mathbf{y})}{\omega + \mu_N - \frac{1}{2}(E_1 - E_2 + E_{\phi})} \right] - [E_1 \leftrightarrow E_2] \right\}$$

- No suppression with ν mass
- Calculation follows long-range η and λ $0\nu\beta\beta$ modes



Majorons and RH Currents



UV Model: LR

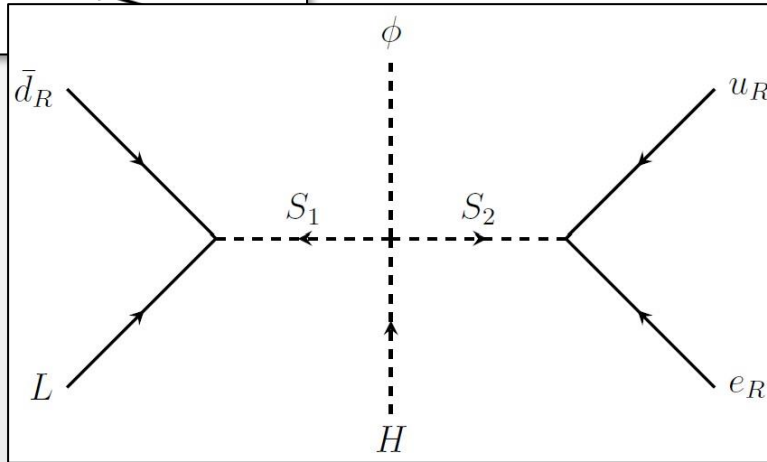
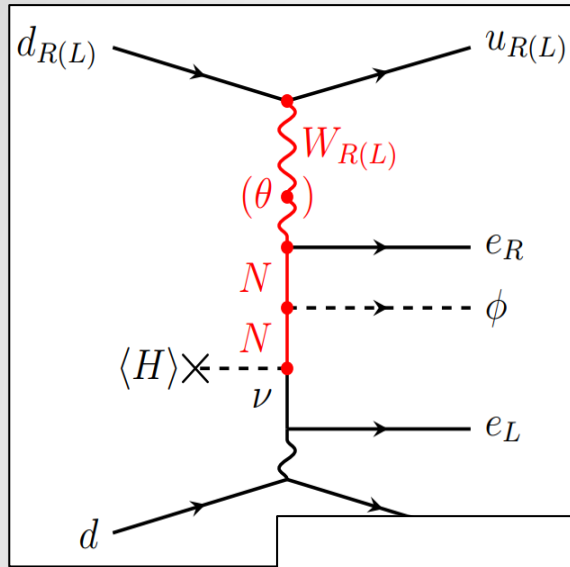
► Extended Gauge Symmetry

$$G_{LR} = SU(3)_C \times SU(2)_L \times SU(2)_R \times U(1)_X \rightarrow SU(3)_C \times SU(2)_L \times U(1)_Y$$

Field	$SU(2)_L$	$SU(2)_R$	$B - L$	ζ	X	$SU(3)_C$
q_L	2	1	1/3	0	1/3	3
q_R	1	2	1/3	0	1/3	3
ℓ_L	2	1	-1	0	-1	1
ℓ_R	1	2	-1	0	-1	1
$U_{L,R}$	1	1	1/3	+1	4/3	3
$D_{L,R}$	1	1	1/3	-1	-2/3	3
$E_{L,R}$	1	1	-1	-1	-2	1
$N_{L,R}$	1	1	-1	+1	0	1
χ_L	2	1	0	+1	1	1
χ_R	1	2	0	+1	1	1
ϕ	1	1	2	-2	0	1



UV Model: LR or LQ



Waffeln

Spiel-
straße

10:30 Uhr
Familien-
gottes-
dienst

ab
11:45 Uhr
Bewirtung

16:00 Uhr
große
Versteigerung
es geht um
Kopf und
Kragen

Hirsch-Fest

- Absch(I)uss einer Mailegende -

20.10.2019



Antio Elafi Kalo Taxi
griechisch: Adieu Hirsch – Gute Reise

Die Gartenschau geht zu Ende und mit ihr geht auch Urbachs stolzer Hirsch. Ursprünglich von den „Hahna Cumpana“ als Maischerz geplant, gebaut und an Ort und Stelle gebracht, hat er über die Zeit der Remstalgartenschau viele Menschen erfreut und das Ortsbild Urbachs mit seiner stattlichen Erscheinung geprägt. Die einzelnen Schindeln des Hirschs können am Fest, als persönliche Erinnerung mit einem Hirschbranding und Teelicht versehen, erworben werden. Quasi ein Stück Hirsch und Gartenschau für zuhause. Als Highlight kann um 16:00 Uhr der Kopf samt Geweih ersteigt werden. Der komplette Erlös aus der Veranstaltung geht an den Kinder- und Jugendhospizdienst Sternentraum, die Bürgerstiftung Urbach sowie die Ölgäle Stiftung.



**Deutsches
Rotes
Kreuz**

Ortsverein
Urbach



Kinder- und Jugendhospizdienst
Sternentraum



Ölgäle stiftung



Kind und Jugend
BÜRGERSTIFTUNG URBACH



Gemeinde
URBACH



REMSTAL
GARTENSCHAU
2019
19.5. - 20.10.2019



www.fb.me/HirschUrbach

Bild: Heiko Potthoff



Hirsch-Fest

- Absch(I)uss einer Mailegende -

20.10.2019

Waffeln
Spiel-
straße
ab
11:4
Bew
10:30 Uhr
Familien-
gottes-
dienst
16:00 Uhr
große
Versteigerung
es geht um
Kopf und
Kragen

**Thanks a lot for the Collaboration
and Happy Birthday!**

Hirsch-Par
Antio Elafi Kalo Taxi
griechisch: Adieu Hirsch - Gute Reise

Die Gartenschau geht zu Ende und mit ihr geht auch Urbachs stolzer Hirsch. Ursprünglich von den „Hahna Cumpana“ als Maischerz geplant, gebaut und an Ort und Stelle gebracht, hat er über die Zeit der Remstalgartenschau viele Menschen erfreut und das Ortsbild Urbachs mit seiner stattlichen Erscheinung geprägt. Die einzelnen Schindeln des Hirschs können am Fest, als persönliche Erinnerung mit einem Hirschbranding und Teelicht versehen, erworben werden. Quasi ein Stück Hirsch und Gartenschau für zuhause. Als Highlight kann um 16:00 Uhr der Kopf samt Geweih ersteigt werden. Der komplette Erlös aus der Veranstaltung geht an den Kinder- und Jugendhospizdienst Sternentraum, die Bürgerstiftung Urbach sowie die Ölgäle Stiftung.

 **Deutsches Rotes Kreuz**  **Ortsverein Urbach**  **Kinder- und Jugendhospizdienst Sternentraum**  **Ölgäle stiftung**  **Kind und Jugend BÜRGERSTIFTUNG URBACH**  **Gemeinde URBACH**  **REMSTAL GARTENSCHAU 2019 10.5. - 20.10.2019** 

www.fb.me/HirschUrbach

Bild: Heiko Potthoff